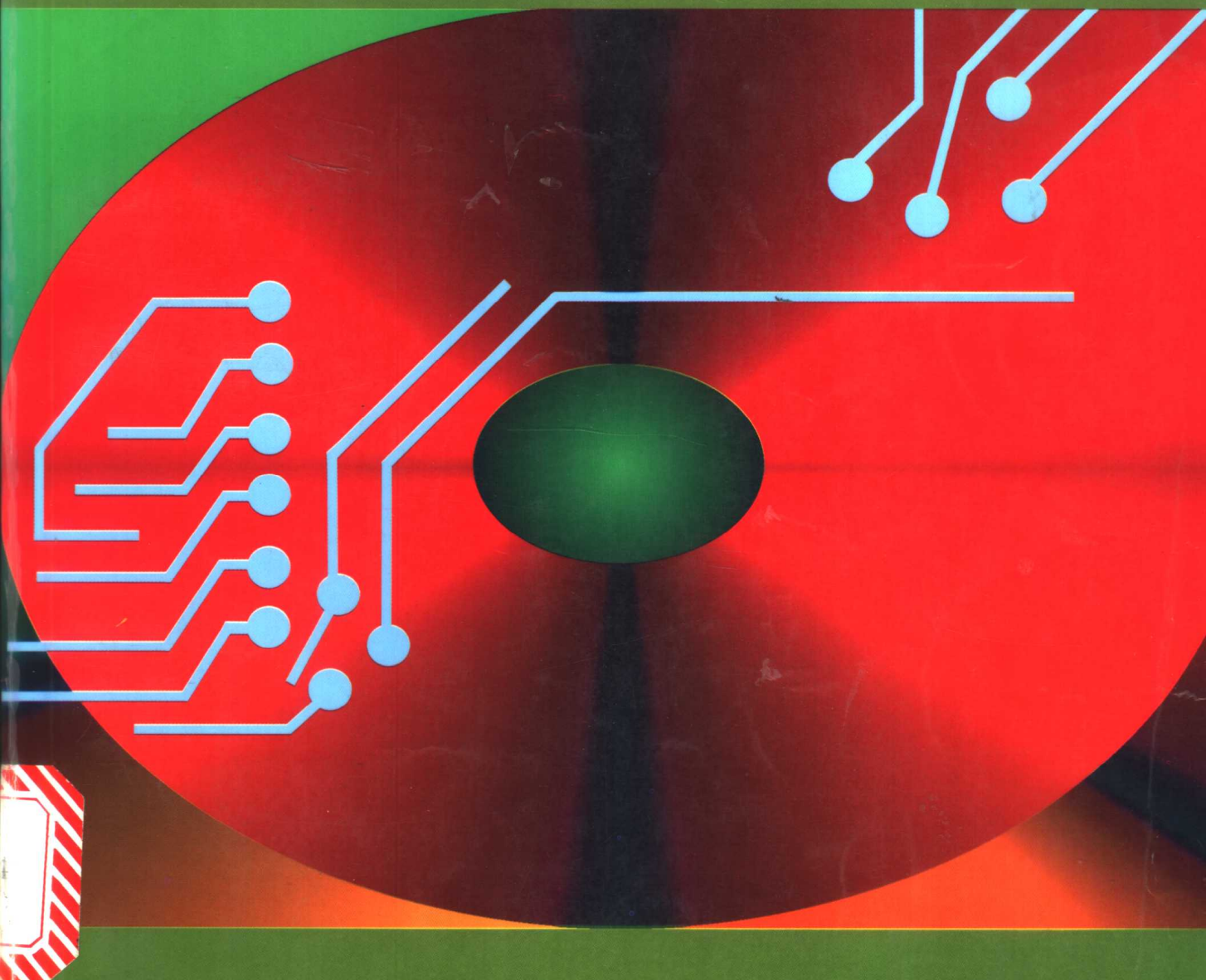


国产VCD机和DVD机 原理与故障 检修280例

政武 浩军 编著



人民邮电出版社

图书在版编目(CIP)数据

国产 VCD 机和 DVD 机原理与故障检修 280 例 / 政武 , 浩军编著。北京 : 人民邮电出版社
1999.5

ISBN 7-115-07511-5

I . 国 … II . ①董 … ②浩 … III . ①激光放象机 - 故障检测 ②激光放象机 - 故障修复
IV . TN946

中国版本图书馆 CIP 数据核字 (98) 第 38876 号

内 容 提 要

本书主要介绍影碟机的原理、电路和检修方法，并列举了国产新科、万利达等牌号 VCD 机和进口 DVD 机的故障检修实例 280 个。书中图表多、资料多、实例多，突出实用性。

为了使缺少 CD 技术基础的读者能较快地熟悉 VCD 、 DVD 技术，本书对 CD 数据信号和 CD 唱机的基本原理、典型电路作了较全面地介绍。书中还介绍了最新的 VCD 机心电路， MPEG-1 、 MPEG-2 、 MPEG-4 和 MPEG-7 的格式特点和标准，以及 CL484 、 CL484 、 CL680 、 ES3204 和 ES3210 等解压芯片。本书还对 DVD 机的基本原理及第二代 DVD 机东芝 SD-K310 的电路原理作了介绍。

本书主要读者对象是 VCD 和 DVD 机生产、维修人员和电子技术爱好者。

国产 VCD 机和 DVD 机原理与故障检修 280 例

◆ 编 著 政 武 浩 军

责任编辑 李少民

◆ 人民邮电出版社出版发行 北京市崇文区夕照寺街 14 号

北京密云春雷印刷厂印刷

新华书店总店北京发行所经销

◆ 开本 : 787 × 1092 1/16

印张 : 30.5

插页 : 10

字数 : 768 千字

1999 年 5 月第 1 版

印数 : 1-6 000 册

1999 年 5 月北京第 1 次印刷

ISBN 7-115-07511-5/TN·1437

定价 : 40.00 元

前　　言

近两年来影碟机在我国的生产和销售形势日益高涨,普及和维修影碟机的任务十分繁重。为适应这一发展形势,编写了本书。

本书的读者对象是影碟机的生产、维修人员及广大电子爱好者。为使缺少 CD 技术基础的读者,能够较快地熟悉影碟机技术,书中对 CD 数据信号和 CD 唱机的基本原理、典型电路也作了较全面地介绍,以利于读者系统而全面地理解影碟机原理。本书十分重视联系我国市场实际,努力追踪新机型,其特点是实用电路多、图表多、数据多、检修实例多,突出实用性。

本书共分七章,第一章讨论激光读取系统和伺服系统,还包括系统控制和机械系统,这是 CD 机和 VCD 机所共有的系统。第二章,以 CD 数据信号为基础,引伸到 VCD 数据信号,讨论了 VCD 影碟机的信号处理原理,还简介了 MPEG - 1、MPEG - 2、MPEG - 4 和 MPEG - 7 的格式特点和标准。第三章,以 CD 机典型电路为基础,讨论 VCD 整机电路的结构、组成,重点介绍解压缩电路 CL480、CL484 和 CL680 等,具体分析了以 CL484 为核心的解压缩板电路图。第四章和第五章,分别介绍了国产新科和万利达 VCD 机的电路原理和集成电路、新科 VCD 机故障检修 50 例、万利达 VCD 机故障检修 60 例,还分别介绍了新科“超越 1 号”、万利达 CD7 机心电路以及新型解压缩芯片 ES3204、ES3210 和 CL680 的实用电路。第六章,进一步讨论了其它国产 VCD 机的电路和检修实例 160 个,还简介了我国当前 VCD 机的发展现状和 VCD 机的检修特点及检修方法。通过汇总这些检修实例,可对国产 VCD 机的故障规律、检修方法有一个较为详细而全面的了解。本书最后一章,简述 DVD 机的工作原理,并具体介绍了第 2 代 DVD 机东芝 SD - K310 机的电路原理及 DVD 机故障检修 10 例。本书内有些数据、图表等资料引自有关书刊(主要目录见书末),特对原各位作者和出版社致以衷心的感谢。

参加本书编写工作的还有舒方、赵强、唐彬、郑才、国英等同志。由于作者水平有限,书中难免出现错误和缺点,敬请读者提出批评和意见,并致以衷心的感谢。

作者
1998 年 11 月

目 录

第一章 激光读取系统和伺服、机械系统

第一节 激光读取系统	1
一 激光器	1
二 激光读取系统	2
三 误差信号检测	3
四 高频放大器	6
五 RF 高频放大器举例	8
第二节 伺服系统	12
一 伺服系统的组成	12
二 激光器的 APC 系统	12
三 聚焦伺服系统	13
四 循迹伺服系统	14
五 滑行伺服机构	14
六 主轴伺服机构	15
七 数字式伺服系统	16
八 伺服信号处理电路举例	17
第三节 影碟机的机械系统	23
一 影碟机机械系统的组成	23
二 几种典型机心的机械结构	24
三 机械系统与系统控制器的关系	32
四 机械部分的拆卸	32

第二章 VCD 影碟机的信号处理原理

第一节 数字信号处理的基本方法	36
一 模拟信号的数码化	36
二 纠错与检错	38
三 EFM 调制与解调	40
四 CD 数据信号	42
五 子码信息	44
六 左右声道时钟信号	47
七 CD 唱机的基本组成	47
第二节 VCD 影碟机的基本原理	48
一 从 CD 的红皮书到 VCD 的 2.0 版本	48

二	VCD 影碟机与 CD 唱机的联系和区别	49
三	声图数据信号的压缩与解压缩	50
第三节	图像压缩编码与解码原理	51
一	图像压缩编码的基本原理	51
二	帧内数据压缩技术	53
三	帧间数据压缩技术	56
四	图像压缩编码和解码电路方框图	58
五	伴音压缩编码	62
六	MPEG - 1、MPEG - 2 和 MPEG - 4 ~ 7	64

第三章 VCD 影碟机的电路结构

第一节	VCD 影碟机的组成	73
一	VCD 影碟机的组成方框图	73
二	单片型与多片型 MPEG - 1 解压缩电路的比较	75
第二节	CD 部分的电路	76
一	CD 唱机数字信号处理(DSP)系统的组成	76
二	EFM 解调和纠错解码部分	77
三	数字滤波器和数模转换器	85
四	CD 机数字信号处理电路举例	94
第三节	典型的解压缩电路	102
一	CL480 的特点和组成	102
二	CL480 的引出脚和指令	108
三	CL484 和 CL680 介绍	114
第四节	VCD 解压缩系统举例	123
一	VCD 解压板电路的组成	123
二	以 CL484 为核心的 VCD 解压板电路介绍	125

第四章 索尼模拟式机心电路和新科 VCD 机检修 50 例

第一节	新科 VCD 机所用的集成电路	137
一	一种索尼模拟式 CD 模块电路	137
二	CXA1782 的功能介绍	137
三	CXD2500 的功能介绍	143
四	BA6395AFP 的功能介绍	150
五	CXP50116 的功能介绍	151
六	ES3204 的功能介绍	155
七	ES3208/3210 的功能介绍	156
第二节	新科 VCD 机电路介绍	159
一	新科 VCD - 320 型 VCD 机介绍	159
二	新科 VCD - 330 型 VCD 机介绍	176
三	新科 VCD - 25C 型 VCD 机介绍	180

四 新科“超越 1 号”	190
第三节 新科 VCD 机故障检修	192
一 维修数据	192
二 新科 VCD 机故障检修 50 例	192

第五章 飞利浦数字式机心电路和万利达 VCD 机检修 60 例

第一节 万利达 VCD 机所用的集成电路	237
一 飞利浦数字式机心电路	237
二 TDA1302T 的功能介绍	238
三 TDA1301T 的功能介绍	241
四 SAA7345 的功能介绍	247
五 OM5234 的功能介绍	254
第二节 万利达 VCD 机电路介绍	256
一 万利达 VCP - N28 整机简介	256
二 万利达 VCP - N30 整机简介	270
三 万利达 VCP - N10 整机简介	277
四 新型全数字 VCD 系统	281
第三节 万利达 VCD 机故障检修	283
一 维修数据	284
二 万利达 VCD 机故障检修 60 例	284

第六章 国产 VCD 影碟机的检修

第一节 国产 VCD 影碟机的发展情况	317
一 发展初期盛产“改装机”	317
二 VCD 影碟机的标准和版本	318
三 VCD 机的多功能和高性能	322
四 国产 VCD 机的机心和集成电路	324
第二节 VCD 影碟机的检修特点和检修方法	333
一 VCP 影碟机的检修准备和检修特点	333
二 VCD 机的基本检修方法和注意事项	335
第三节 长虹 VCD 机简介和故障检修 30 例	339
一 长虹 VCD 机简介	339
二 长虹 VCD 机故障检修 30 例	349
第四节 爱多 VCD 机简介和故障检修 25 例	358
一 爱多 VCD 机简介	358
二 爱多 VCD 机故障检修 25 例	361
第五节 夏新 VCD 机简介和故障检修 5 例	369
一 夏新 VCD - 751/768 型影碟机简介	369
二 夏新 VCD - 768 型机的维修数据	378
三 夏新 VCD 机故障检修 5 例	405

第六节	东鹏 VCD 机简介和故障检修 20 例	407
一	东鹏 VCD 机简介	407
二	东鹏 VCD 机故障检修 20 例	418
第七节	其它国产 VCD 机故障检修 80 例	424
一	先科 VCD 机故障检修 10 例	424
二	厦华 VCD 机故障检修 5 例	427
三	锦电 VCD 机故障检修 5 例	429
四	星王 VCD 机故障检修 10 例	433
五	雄鹰 VCD 机故障检修 5 例	435
六	其它机型故障检修 45 例	437

第七章 DVD 影碟机原理与故障检修

第一节	DVD 影碟机的工作原理	453
一	两种 DVD 从分歧到统一	453
二	DVD 的技术要点	456
三	DVD 机的电路组成	459
四	DVD 机集成电路发展趋势	461
第二节	东芝 SD - K310 型 DVD 机介绍	466
一	东芝 SD - K310 机的基本特点	466
二	整机组装方框图	466
三	伺服系统	469
四	视频解码系统	471
五	音频处理系统	473
六	显示控制系统	474
第三节	DVD 影碟机故障检修 10 例	474
一	DVD 影碟机故障检修要点	474
二	DVD 影碟机故障检修 10 例	475
	主要参考资料	479

第一章 激光读取系统和伺服、机械系统

一台完整的 VCD 影碟机和 CD 唱机, 主要由激光读取系统、伺服系统、控制系统、机械系统和复杂的信号处理系统等组成, 影碟机还要附加模拟图像处理和显示系统。其中, 激光读取系统和伺服系统是整机的基础。没有这些系统作基础, 就无法正确、精密地利用光学方法读取信号, 并将光信号转换为电信号, 也就无法进行一系列电信号的加工、解调处理。CD 唱机和 VCD 影碟机的激光读取系统和伺服系统基本上可以通用。CD 唱机和 VCD 影碟机使用相同尺寸的光盘(12cm), 光盘的加工制作工艺也相同。激光头采用非接触方式, 来读取盘面上坑槽所代表的各种数据信息, 以恒定线速度沿坑槽轨迹扫描。本章主要介绍激光读取系统和伺服系统, 并简单介绍与该两系统密切相关的机械系统。

第一节 激光读取系统

激光读取系统是各类激光视听设备的关键, 其中激光发生器又是读取系统的关键件, 优良的光学透镜系统是读取数据信息的机构保证。良好的激光读取系统应能保证性能良好的激光束聚焦和循迹扫描。通过拾取聚焦误差信号可以实现自动聚焦伺服, 通过拾取循迹误差信号可以实现自动循迹伺服。本节主要讨论激光器和激光读取系统的结构、聚焦和循迹误差信号的形成原理, 以及 RF 高频信号放大器等。

一、激光器

VCD 机和 CD 机都采用半导体可见光激光发生器(简称激光器)作光源, 激光器是各种光盘播放机的基础和关键件。

激光是和普通光线完全不同的光波, 它是波长单一、相位规则且光速不中断前进的光波, 它可以在较长时间里保持频率和幅度的稳定性。激光器是可以产生激光束的光学精密器件, 其关键器件是激光二极管, 它可以激发出确定波长的激光。激光器是读取光盘内存储数据的决定性部件。激光束经过光学系统的聚焦, 可使其光点直径聚集于 $1\mu\text{m}$ 左右, 由此可知激光束的分辨力非常强。

实用的激光器要求激光二极管辐射出强度恒定的激光束, 否则将影响读出数据的精确性。为此, 应当设置自动控制电路, 以确保输出光强(即功率)稳定。通常, 在激光二极管的旁边, 还要辅设 1 只光敏二极管, 可用它检测和控制激光强度。

激光束通过光学透镜投射到光盘表面。在光盘表面, 有坑槽和无坑槽的部分对激光束的反射特性不同。没有坑槽的地方, 俗称凸点或镜面, 它们对激光束的反射较强; 而有坑槽的地方则不同, 许多激光分量被散射, 反射回来的激光束比较弱。根据反射激光束强度变化, 利用

光敏二极管的光—电变换作用,可转换为相应的电流变化,这种电流变化对应了光盘存储的信息。

二、激光读取系统

1. 3 光束和单光束系统

利用激光束读取光盘存储的数据、信息时,激光读取系统可分 3 光束和单光束系统两大类。所谓 3 光束系统,即激光二极管辐射的激光经过光学系统后,投射到光盘时变成 3 束激光,中间的主光束用于读取光盘的数据和进行聚焦伺服,两侧的辅助光束则用于循迹(也称跟踪)检测,通过循迹(跟踪)伺服系统实现激光束自动跟踪循迹扫描。而单光束系统,即激光束没有被分裂为多束,使用单一的激光束既要读取信息,又要检测聚焦误差和循迹误差。大多数影碟机都采用 3 光束读取系统,少数影碟机使用单光束系统。单光束系统的结构较 3 光束系统简单一些,但循迹伺服电路较复杂,搜索节目稍慢。

2. 激光读取系统的组成

激光读取系统主要包括激光光源、分光镜、物镜及光检测器等。此外,实用激光读取系统还要附加聚焦误差信号检测、循迹误差信号检测和射束形状整形等光学系统。图 1.1.1 是一种典型的激光读取系统光路图;图 1.1.2 是一个光学系统的实例,它是十分小巧精细的部件。现按照图 1.1.1 所示 3 光束系统作简要说明。

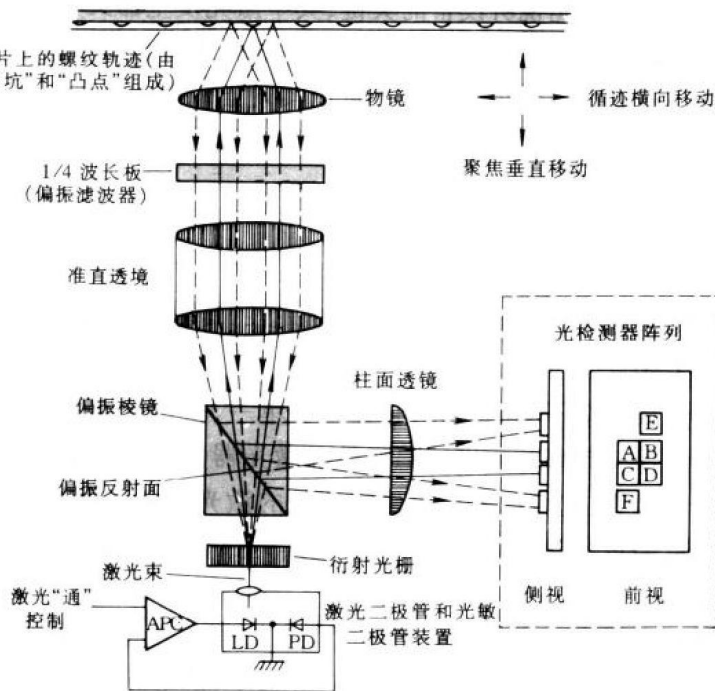


图 1.1.1 激光读取系统的光路图

激光二极管和光敏二极管装置:激光二极管(用 LD 表示)可以发射低功率红外激光束,其功率值较小且应保持恒定。家用 CD 唱机、VCD 影碟机的激光输出功率约为 0.12mW(最大值约 5mW)。为了监测和保证激光管输出稳定的功率,在其旁边还应设置光敏二极管(用 PD 表

示)和自动功率控制电路(用 APC 表示)。

衍射光栅:对于 3 光束型的光学装置来说,中间光束是主束,主要用于读取数据,以及维持激光束在光盘信息面的良好聚焦;而位于主束两侧的激光束(称边束),主要是向伺服系统提供循迹跟踪信息。衍射光栅是一种“附加”透镜,它可将单一的激光束分裂为 3 条激光束。

偏振棱镜(又称半透镜):它可使通过诸透镜的激光束直射到光盘,又能使光盘反射回来的激光束转向光检测器(PD)阵列。

准直透镜(又称准直仪平行光管透镜,或称瞄准透镜):它可将发散角度 $6^\circ \sim 9^\circ$ 范围的激光转换为高强度、凝聚的平行激光,它与物镜结合在一起,可保证激光束具有准确的焦距。

$\frac{1}{4}$ 波长板(又称偏振滤波器或极化滤波器): $\frac{1}{4}$ 波长板可使直射激光和反射激光均通过该板,使直射激光束发生极化,极化光束与光盘反射回来的激光束相差 90° ,然后利用分光镜将两种光束分开来。当反射光被正确极化后,通过偏振棱镜可有效地射向 PD 阵列。

物镜:通过垂直上下移动物镜,可使激光束准确地聚焦于光盘信息面;它也能够横向左右移动,使激光束按照光盘信息纹路循迹扫描。在物镜上套有一对聚焦线圈和循迹线圈,通过有关驱动装置,线圈可使物镜作垂直或横向移动,进行聚焦和循迹调整,使激光束精确地对准指定的信息轨道。该透镜与光盘的距离(称为工作距离)很小,要求为 2mm,其焦距为 4mm 左右,而光盘的上下振动量仅为 $\pm 0.5\text{mm}$ 以内。物镜是光学系统中最重要的零件,要求精度极高,难于制作,自从开发出塑料非球面的单面透镜后,使光学系统的成本大大下降。

光检测器(PD)阵列又称为光电转换器,它是由 6 只光敏二极管(PD)组成的阵列,见图 1.1.3。从光盘反射来的 3 束激光照射到光敏二极管阵列,将光信号转变为电信号,主束强度最大,由 A、B、C、D(PD1 ~ PD4)可获得由光盘读出的数据信号,并检测出聚焦误差信号,可使激光束在光盘上保持良好聚焦。两边束强度较小,E、F(PD5、PD6)可使激光束在光盘上循迹跟踪,并产生循迹跟踪误差信号。6 只光敏二极管分别接到各自独立的电路上,可输出数据信号、聚焦和循迹信号,其中 A ~ D 光敏二极管以一定方式连接。最后,检测矩阵提供的信息为:RF 数据信息为 $(A + C) + (B + D)$; 聚焦误差信息为 $(A + C) - (B + D)$; 循迹误差信息为 E-F。

柱面透镜:用于产生聚焦误差信号。从光盘反射来的激光束,经过柱面透镜照射到 A ~ D 光敏二极管上。利用柱面透镜的成像特点,可形成圆形聚焦光斑(为正确)或椭圆形聚焦光斑(为不正确),从而取得伺服误差信号。

三、误差信号检测

光学读取系统都附设误差检测系统。该检测系统主要包括聚焦误差信号检测电路、循迹误差信号检测电路和射束形状整形电路等。有时将这些电路看成是 RF 高频放大器或伺服系

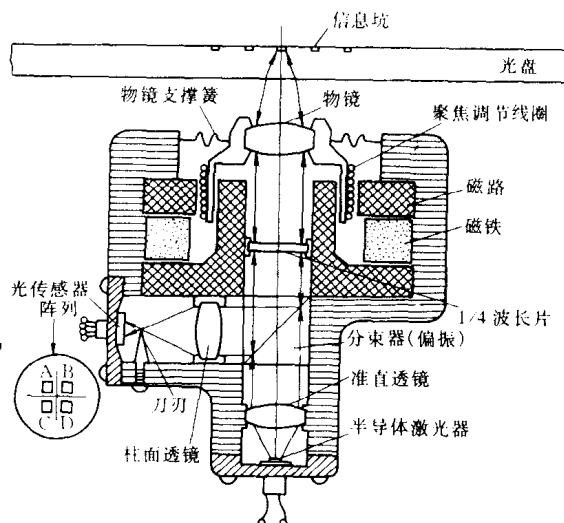


图 1.1.2 一个光学系统的实例

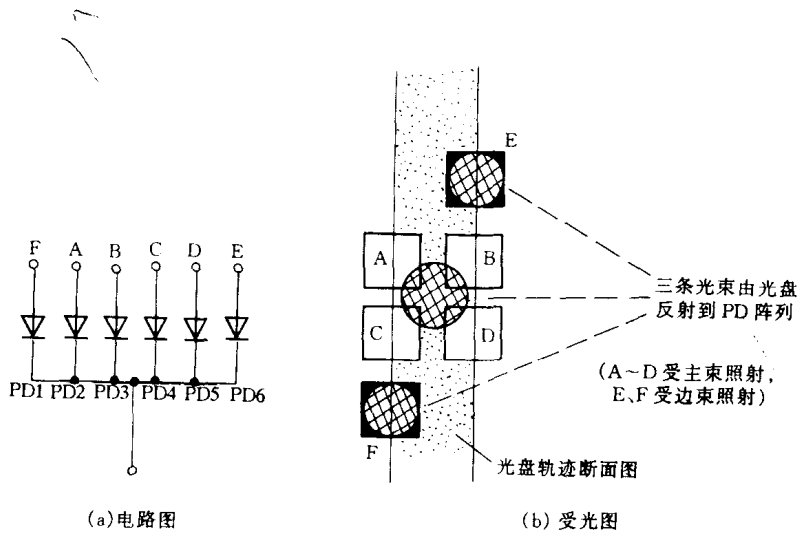


图 1.1.3 光检测器受光示意图

统的一部分。这里作简要说明

1. 聚焦误差信号检测

当光盘旋转时,经常伴随发生 0.5mm 以内的上下振动。为了跟踪光盘振动,仍能使激光束良好地聚焦,应当通过检测手段使光束聚焦光斑跟随上下移动。为此,应通过自动聚焦跟踪控制系统,使物镜跟随作上下移动,来实现良好聚焦,常见的聚焦误差检测方法有以下两种。

(1) 像散法

它是利用柱面透镜和凸透镜组成光学成像系统。当激光束的主光束通过柱面透镜后,应照射到由 A~D 光敏二极管组成的阵列(PD)。若聚焦良好,将在 PD 阵列形成圆形光斑,如图 1.1.4 所示。倘若聚焦不良时,则将在阵列形成椭圆形光斑,光斑向哪个方向倾斜,与主光束在何方向聚焦不良有关。聚焦良好时形成圆形光斑,4 只二极管可得到相同的光量,若进行交叉和运算,即为 $(A + C) - (B + D)$,其结果应当为零。但是当物镜焦点位置上移或下移时,必聚焦不良,将形成椭圆形光斑,则 $(A + C) - (B + D)$ 必然不为零,这就是聚镜焦点不对而引起的聚焦误差信号。将此微弱的误差信号进行放大后,可通过聚焦伺服系统自动调整聚焦。

(2) 刀刃法

在物镜与光检测器(此处使用 2 等分光检测器)之间设置一个遮光平板的刀刃,如图 1.1.5 所示。若光盘与物镜距离合适时,聚焦良好,刀刃不遮蔽激光束,2 等分光检测器上下光亮度相同。但是光盘与物镜的距离不合适时,则光检测器的上半部或下半部光亮度不相同,把这种明暗光所对应的电信号检测出来,即可作为聚焦误差信号。如图 1.1.5 所示,光盘与物镜的距离过近,造成上半部光亮度比较暗。

2. 循迹误差信号检测

由于制作工艺水平的限制,造成光盘旋转中心与圆形轨迹中心发生偏离,一般偏离值在 $50\mu\text{m}$ 以内;若再加上光盘转动精度的影响,最大偏心值可达到 $200\mu\text{m}$ 左右。对于直径 12cm 的光盘来说,各邻轨的间隔仅为 $1.6\mu\text{m}$,要求激光束循轨迹跟踪的误差应控制在 $0.1\mu\text{m}$ 以内。为此必须自动检测循迹误差,并将检测误差信号送到循迹跟踪伺服系统,以修正循迹误差。检测循迹误差信号的方法主要有两种。

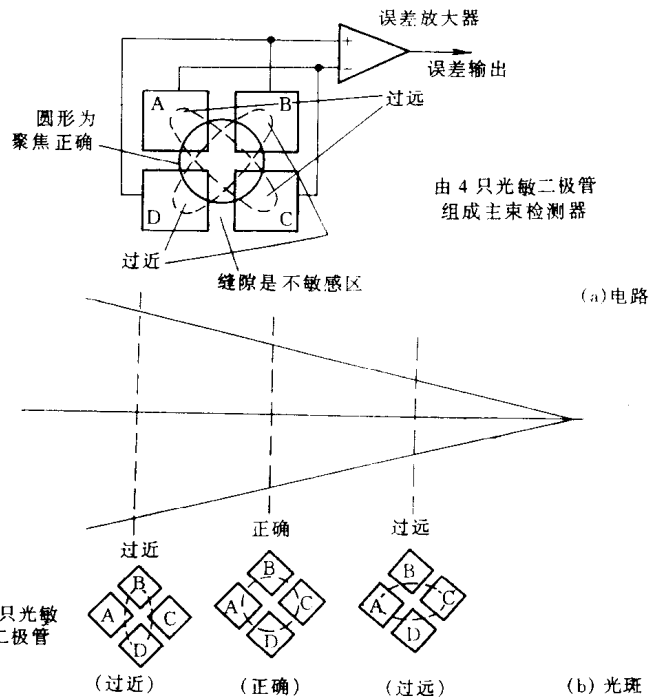


图 1.1.4 用像散法检测聚焦误差信号

(1) 3 光束法

前面说过,衍射光栅可将激光束分裂为3条光束,两条副光束应分别照射到E、F光敏二极管,见图1.1.6。如果激光束循迹正确,主光束应恰好位于信号轨迹中央,两副光束照到E、F两个检测器的光亮度相等,其相应输出电信号相同,则循迹误差放大器输出为零。但是当信号轨迹偏离开光束中心位置时,两副光束对应的电信号必不相同,则循迹误差放大器可输出循迹误差信号。

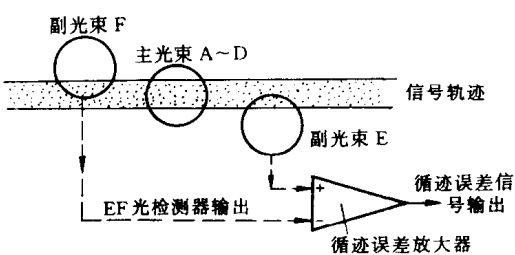


图 1.1.6 3 光束法循迹检测

通常,将刀刃法与单光束法结合起来,即可综合检测激光束聚焦和循迹的误差情况。这种方法首先由飞利浦公司使用。

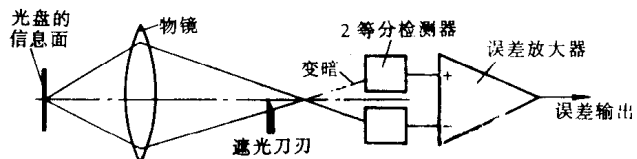


图 1.1.5 用刀刃法检测误差信号

若将3光束法和像散法结合起来,即可综合检测激光束聚焦和循迹的误差情况。这种方法首先由索尼公司使用,并迅速得到广泛的推广应用,这项技术要求衍射光栅具有足够的角度精度。

(2) 推挽法

它仅使用1条激光束,即可得到循迹误差信号,故又称为单光束法。它是通过2等分光检测器取得反射光后,比较两个光检测器输出的方法来取得循迹误差信号,也经常称为2等分法。通

四、高频放大器

激光头读取信号后,需要立即将光信号转变为电信号,并对电信号进行多种选择和加工,然后将各种信号分别送到数字信号处理电路、伺服控制电路等,这个选择、加工电路称为射频放大电路或RF高频放大器。图1.1.7是高频放大器的简易组成方框图。高频放大器首先要放大和处理光检测器输出的信号,然后送到波形处理电路进行波形整形放大,输出各种检测信号,包括聚焦误差信号、循迹误差信号、聚焦完成(FOK)信号、镜面信号等,还要输出待解调的EFM数据信号。

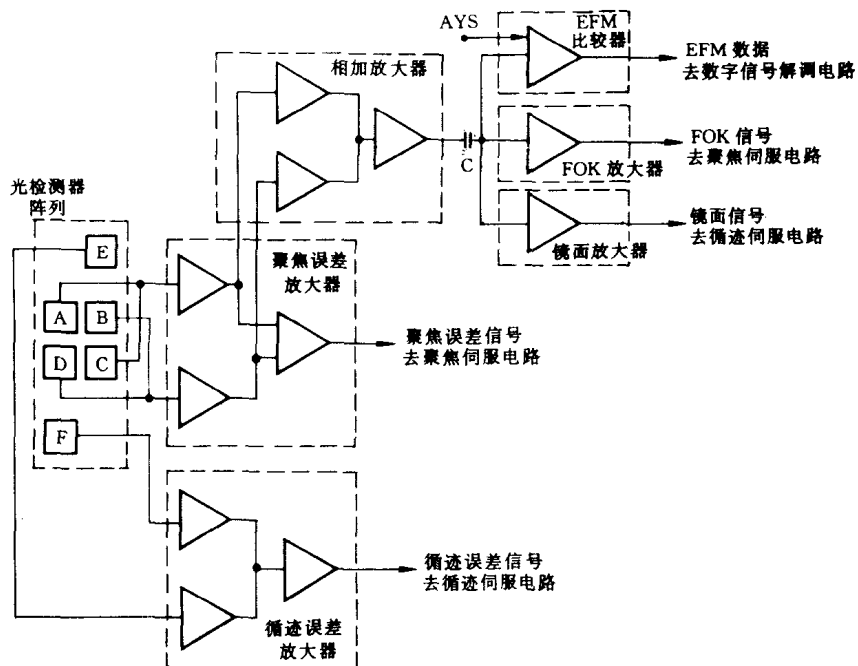


图1.1.7 高频放大器方框图

1. 光检测器阵列

由A~F 6只光敏二极管组成光检测器阵列。以(A+C)为一组输出信号,以(B+D)为另一组输出信号,这两组输出信号经放大处理后,送到聚焦误差放大器和相加放大器。而E、F光敏二极管的输出信号,分别送到两个循迹误差放大器的输入端。

2. 循迹误差放大器

E、F二极管的输出信号用于循迹误差检测。激光束沿光盘信号轨迹作循迹运动时,光盘表面反射光强度发生变化,该光亮度的变化转变为电信号,再经过放大后,输出循迹误差信号。该信号的大小、极性与光点循迹误差大小、方向有关。

3. 聚焦误差放大器

A~D共4只二极管可输出两组信号,经放大后再经过差分放大器,可对两组信号进行比较放大,输出信号即为聚焦误差信号。聚焦误差信号的大小、极性,与聚焦误差程度、方向有关。若聚焦良好,输出聚焦误差信号为零;若聚焦不良,输出数值可能为正或负,并与聚焦不良

的程度有关,极性与聚焦不良所发生的方向有关。

4. 相加放大器

(A+C)和(B+D)两组信号除送给聚焦误差放大器外,还送给相加电路。经过分别放大后,再进行相加放大,最后输出总和信号,通常称该信号为射频信号或眼图信号。信号波形见图 1.1.8。该信号带有光盘存储的所有数据信息,它反映光盘播放机的特性,也反映光盘的特性。信号的周期与光盘的凹坑或凸点(或称镜面)的长度有关,它又与时钟频率相关。该图中,波形最短周期对应于光盘最短凹坑长度或凸点长度,为 3T,它等于最终时钟频率(4.3218MHz)周期的 3 倍。最长的凹坑和凸点为 11T。

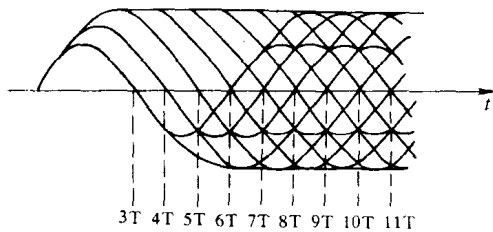


图 1.1.8 眼图波形(RF 信号)

相加放大器输出的 RF 信号又经常称为射频 EFM 信号。它经过耦合电容 C 后分为 3 路输出,后级电路分别为 EFM 比较器、FOK 放大器和镜面放大器。设置耦合电容具有几个作用。首先,可以隔离掉直流成分,主要输出频率为 $196 \sim 720\text{kHz}$ 的射频信号,使信号在零线上任何一个方向的变化,仅与光盘反射光有关。其次,可以改善波形的对称性。在制作光盘时,必然存在工艺误差,使得凹坑、凸点形状的边缘处不对称(可达到 20% 的程度),将造成反射激光束所形成的波形不对称,导致数据产生误差。设置电容器后,可使波形在零线上下侧有较为合理的波形。只要波形穿过零线时,即表明数据信号出现数码 1。还有,输出信号的相邻波形之间可能发生干涉现象,从而引起脉冲检测误差,应当设置波形均衡电路,对输出信号进行频率特性的均衡及带宽限制,来减少信号干涉,耦合电路可起到此作用。

5. EFM 比较器

理想矩形波的前后沿应当十分陡峭,它可以准确地表达数码 1 的位置,它对矩形波所对应的数据信号具有重要意义。但因制作光盘的铸模或工艺不良,可能造成光盘的凹坑或凸点的前后沿变得比较圆滑,呈圆弧状,失去了明显的界限,见图 1.1.9。它将影响激光器读取 1 的准确位置。当波形失真的数据信号通过 EFM 比较器后,可使其前后沿得到改善。

通常,EFM 比较器输入两个信号,一个是待改善的 RF 信号,即 EFM 数据信号;另一个是 ASY(不对称)信号,该信号电压作为基准电压。ASY 电压与 EFM 时钟频率有关,利用 EFM 信号与数字信号解码器锁相环路的时钟信号进行比较,再将误差电压进行低通滤波,可以得到 ASY 电压,再将该电压送到 EFM 比较器。比较器输出的信号是符合波形要求的高频 EFM 数据信号,它再经过 EFM 解码器解码,可得到已解调的数据信号。

6. FOK(聚焦完成)放大器

FOK 放大器是聚焦伺服系统的一个辅助电路。当光盘放入托盘且送进机身后,聚焦系统

立即上下调整物镜的位置,以便取得最优聚焦位置。当选定聚焦位置后,光盘的反射光最强,A~D光检测阵列输出信号最强,该信号送到FOK(Focus OK)放大器放大,输出高电平信号,称为FOK信号。该信号送到聚焦控制电路,可将聚焦已经完成的信息送到聚焦伺服系统;该信号还可以作为光盘到位、作好播放准备的指令。

7. 镜面放大器

镜面放大器是循迹伺服系统的附属电路,该电路可将高频输入信号转变为镜面信号。镜面信号可使系统控制电路判别出激光束循迹跟踪是否正确,主要是依据镜面信号的高、低电平来判断循迹是否准确。若激光束准确地沿轨迹循迹时,镜面信号输出低电平;若激光束未照准轨迹,则该信号为高电平。若镜面信号保持高电平时间过长,控制电路可向循迹伺服系统输出触发信号,使镜面信号转为低电平。另外,若更换新光盘而重新播放,在需要跳过轨迹时,也都需要使用镜面信号,使激光头沿光盘作横向移动。

五、RF 高频放大器举例

下面,以索尼公司的CXA1081为例,说明典型RF高频放大器的信号处理过程。

CXA1081是3光束系统使用的高频信号处理器。具有高频I-V放大、聚焦误差放大及循迹误差放大等多种功能,同时可完成聚焦检测、镜面检测、缺陷检测及EFM比较器等功能,它还设置了自动功率控制(APC)电路。可由单电源+5V或双电源±5V供电,功耗较低,单电源时为50mW,双电源时为100mW。当单电源供电时,芯片内的中心电压产生器起作用,它产生中心电压,可供系统使用。电路方框图见图1.1.10,各引脚的功能见表1.1.1。下面对主要功能作简要说明。

1. RF 放大器

经光盘表面输出的反射光,被光敏二极管吸收后,转变为电流输出。后级电路难于直接处理电流,需要经过电流一电压(I-V)变换器,转变为电压信号,然后才能作进一步处理。RF放大器可以完成这种转换任务。该电路包括RF电流(I)、电压(V)转换放大器(1)和(2),以及RF加法放大器等。光敏二极管(A+C)和(B+D)输出的电流信号,经⑦脚(PD1)、⑧脚(PD2)进入放大器(1)和(2),经放大器转变为电压信号;两输出电压送到RF加法放大器相加。相加后的总信号(即A+B+C+D)从②脚(RFO)输出。在该脚可用示波器看到RF输出电压的波形。

2. 聚焦误差和循迹误差放大器

该芯片内设有聚焦误差(FE)放大器和循迹误差(TE)放大器。其中,聚焦误差(FE)放大器完成聚焦误差放大。前述RF I-V放大器(1)输出信号为(A+C),而RF I-V放大器(2)输出信号为(B+D),聚焦误差放大器对两路信号进行相减,并对其差值进行差动放大,输出(A+C)-(B+D)。经放大的差值信号由⑯脚(FE)输出。调整⑯脚外接元件,可调整该脚偏置电位,可获得最大的共模抑制信号。

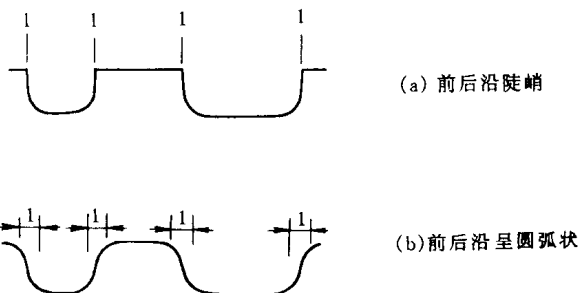


图 1.1.9 前后沿呈圆弧状时数码 1 的位置不准确

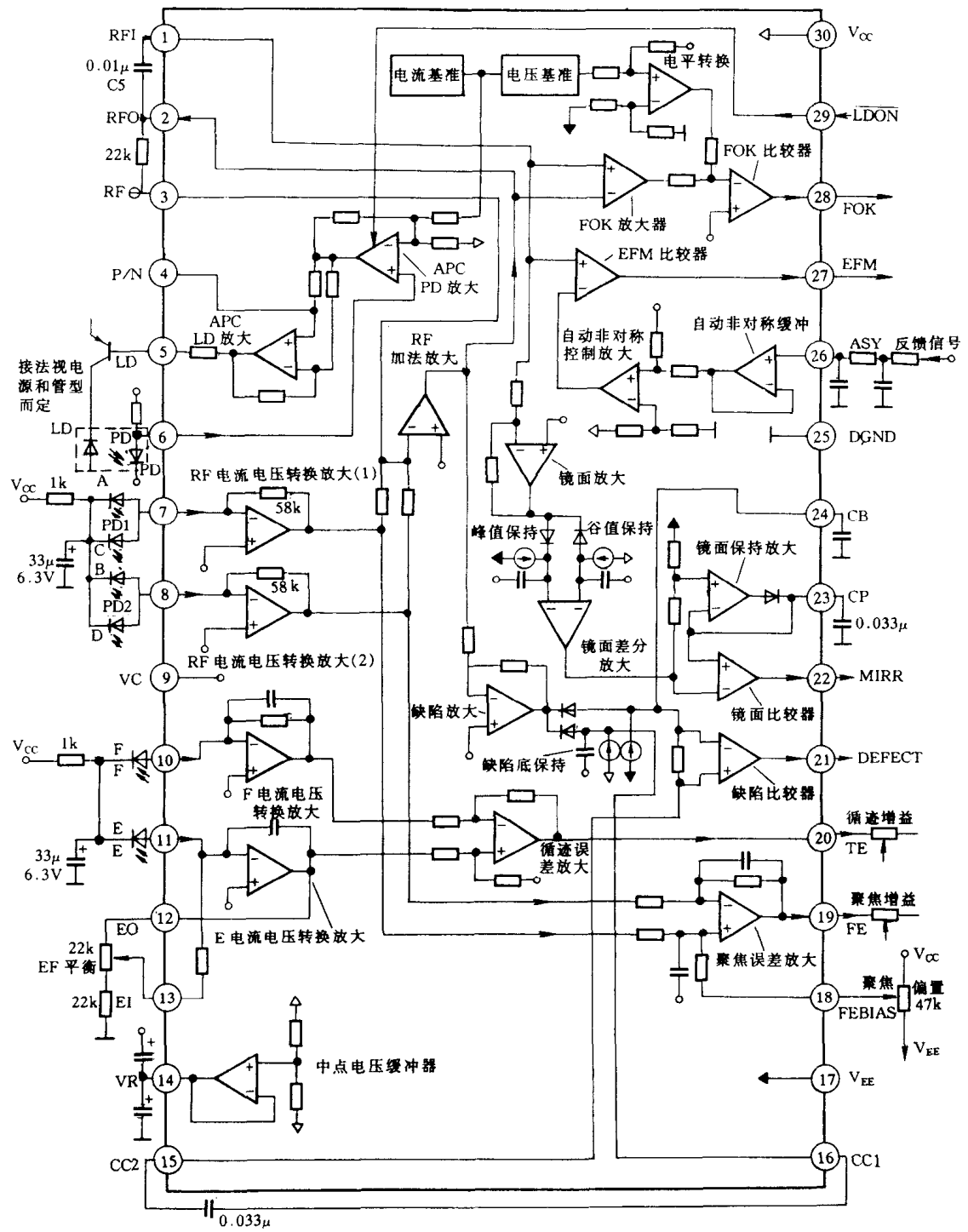


图 1.1.10 CXA1081 方框图

循迹误差(TE)放大器完成循迹误差放大。光敏二极管E、F输出的信号,经⑩脚、⑪脚分别进入E、F的电流、电压转换放大器,并分别转换为电压信号。两个电压信号E、F送到循迹误差放大器的两个输入端,然后对两者差值进行差动放大,差值放大信号(E-F)由⑫脚(TE)输出。在⑫、⑬脚间接有可调电阻,调整其数值,可以调整E、F两转换器的平衡性。

表 1.1.1

CXA1081 引脚功能

脚号	符号	I/O	功能
①⑬	RFI	I	RF 输入脚,用耦合电容与 RF 求和放大器的输出脚相连
②⑭	RFO	O	RF 求和放大器的输出脚及眼图的监测点
③⑮	RF -	I	RF 求和放大器的反馈输入端
④⑯	P/N	I	P 型或 N 型 LD 的开关脚
⑤⑰	LD	O	APC LD 放大器的输出脚
⑥⑱	PD	I	APC PD 放大器的输入脚
⑦⑲	PDI	I	RF 电流 - 电压(I-V)放大器(1)的倒相输入脚,它和光电二极管 A 及 C 相连
⑧⑳	PD2	I	RF I-V 放大器(2)的倒相输入脚,它和光电二极管 B 及 D 相连
⑨㉑	V _c	—	双电源供电时:GND(地) 单电源供电时:VR(14 脚)
⑩㉒	F	I	F I-V 放大器的倒相输入脚,和光电二极管 F 脚相连
⑪㉓	E	I	E I-V 放大器的倒相输入脚,和光电二极管 E 脚相连
⑫㉔	EO	O	E I-V 放大器的输出脚
⑬㉕	EI	I	E I-V 放大器的反馈输入脚,供 E I-V 放大器增益调整用
⑭㉖	VR	O	(V _{CC} + V _{EE}) / 2 直流电压输出脚
⑮㉗	CC2	I	输入脚(带耦合电容),该处和缺陷检测底部保持输出相连
⑯㉘	CCI	O	缺陷检测底部保持输出脚
⑰㉙	V _{EE}	—	对双电源供电:负电源端 对单电源供电:GND(地)
⑱㉚	FEBIAS	I	聚焦误差放大器的非倒相偏置脚,供聚焦放大器 CMR(共模抑制)调整用
⑲㉛	FE	O	聚焦误差放大器的输出脚
㉐㉛	TE	O	跟踪误差放大器输出脚
㉑㉜	DEFECT	O	缺陷检测比较器的输出脚(负载 10kΩ)
㉒㉝	MIRR	O	镜面比较器的输出脚(负载 10kΩ)
㉓㉞	CP	I	镜面比较器的非倒相输入端,连接 MIRR 保持电容
㉔㉟	CB	I	缺陷检测底部保持电容的连接脚
㉕㉟	DGND	—	对双电源供电:GND 对单电源供电:GND(V _{EE})
㉖㉟	ASY	I	自动对称控制放大器的输入脚
㉗㉟	EFM	O	EFM 比较器的输出脚(负载 10kΩ)
㉘㉟	FOK	O	FOK 比较器的输出脚(负载 10kΩ)
㉙㉟	LDDN	I	LD ON/OFF 开关脚
㉚㉟	V _{CC}	—	正电源供电

注:表中管脚为 CXA1081M/S,括号内脚号为 CXA1081Q,I/O 栏 I 代表输入脚,O 代表输出脚。

3. 聚焦完成电路

聚焦完成(FOK)电路可以产生一个定时窗口,以便在聚焦搜索状态时锁定聚焦伺服状态。该电路由 FOK 放大器和 FOK 比较器等组成。前面已谈到,RF 加法放大器输出的高频信号由②脚(RFO)输出,经过等效的高通滤波器(HPF)再返回到①脚(RFI)。于是,FOK 放大器可对两输入端的信号进行差值放大,该放大器实际上起到有源低通(LPF)放大器的作用。当输入电